

## КРАТКИЕ СООБЩЕНИЯ

УДК 532.782+666.266.6

## О СЛУЧАЙНОЙ УПАКОВКЕ ОДНОАТОМНЫХ СТРУКТУР

© 2008 М. Н. Магомедов\*

*Институт проблем геотермии Дагестанского НЦ РАН, Махачкала**Статья поступила 11 апреля 2007 г.*

Изучена зависимость первого координационного числа  $k_n$  от  $k_y$  — коэффициента упаковки для четырех кубических структур: ГЦК, ОЦК, простой кубической и алмазной. Замечено, что зависимость  $k_n(k_y)$  с коэффициентом достоверности  $R_d = 1$  описывается полиномом третьей степени:  $k_n = -71,76782 + 467,78914 k_y - 925,48451 k_y^2 + 603,01146 k_y^3$ .

Показано, что функция  $k_n(k_y)$  имеет  $N$ -петлю с максимумом при  $k_n = 6,32$ ;  $k_y = 0,454$  и минимумом при  $k_n = 5,84$ ;  $k_y = 0,573$ . Касательные в экстремумах пересекают кривую  $k_n(k_y)$  при  $k_y = 0,4$  и  $k_y = 0,625$ . В области  $N$ -петли, т.е. при  $5,84 \leq k_n \leq 6,32$  и  $0,4 \leq k_y \leq 0,625$ , определенному значению координационного числа соответствуют два или три значения коэффициента упаковки. Поэтому эту область значений  $k_n$  и  $k_y$  можно определить как область "случайной упаковки". Представленные оценки хорошо согласуются с результатами как геометрических, так и численных расчетов. Показано, что для одноатомных твердых веществ, имеющих параметры "случайной упаковки", разница между удельными объемами твердой и жидкой фаз незначительна. Указано, что в области, где  $\partial k_n / \partial k_y \leq 0$  возможен эффект "дилатации".

**Ключевые слова:** случайная упаковка, координационное число, коэффициент упаковки, дилатация, плавление, кристаллизация, стеклование.

Основной проблемой "случайной упаковки" (RCP — random close packing) одинаковых сфер является вопрос о критерии "случайности", который используется при численном моделировании упаковок. В работах [1—3] ясно указывалось, что параметры "случайной упаковки" зависят как от алгоритма создания данной структуры, так и от числа сфер, использованных при численном моделировании, и от потенциала взаимодействия сфер. И хотя было предложено несколько подходов к определению параметров "случайной упаковки", но природа ее не ясна до сих пор. Между тем параметры "случайной упаковки" широко используются при расчете свойств как аморфных материалов, так и жидких сред [4, 5]. В связи с этим необходимо дать четкое определение области "случайной упаковки". Одному из возможных вариантов аналитического определения параметров "случайной упаковки" и посвящена данная работа.

В основу определения "случайной упаковки" мы положим зависимость первого координационного числа  $k_n$  от  $k_y$  — коэффициента упаковки для четырех кубических структур: ГЦК ( $k_n = 12$ ;  $k_y = \pi 2^{1/2} / 6 = 0,7405$ ), ОЦК ( $k_n = 8$ ;  $k_y = \pi 3^{1/2} / 8 = 0,6802$ ), простой кубической ( $k_n = 6$ ;  $k_y = \pi / 6 = 0,5236$ ) и алмазной ( $k_n = 4$ ;  $k_y = \pi 3^{1/2} / 16 = 0,3401$ ). Если анализировать зависимость  $k_n(k_y)$  для четырех данных структур, то методом наименьших квадратов легко получить, что с коэффициентом достоверности  $R_d = 1$  зависимость  $k_n(k_y)$  описывается полиномом третьей степени

$$k_n = -71,76782 + 467,78914 k_y - 925,48451 k_y^2 + 603,01146 k_y^3. \quad (1)$$

\* E-mail: mahmag@iwt.ru

Рис. 1. Зависимость первого координационного числа  $k_n$  от  $k_y$  — коэффициента упаковки структуры для четырех кубических структур. Линия — результат аппроксимации с коэффициентом достоверности  $R_d = 1$  полиномом третьей степени (1)

Так как значения  $k_n$  и  $k_y$  для четырех кубических структур определены с высокой степенью точности, то полученный по четырем точкам полином (1) можно считать закономерной зависимостью непрерывной функции первого координационного числа при непрерывном изменении аргумента  $k_y$ . Непрерывное изменение коэффициента упаковки структуры  $k_y = Nv_a / V$  можно осуществлять либо тепловым изменением плотности числа атомов ( $N/V$ ) при неизменном значении объема атома ( $v_a$ ), либо пластической деформацией решетки, либо активацией структуры однородно распределенными по объему  $V$  вакансиями, либо полигонизацией структуры [5, с. 71], либо другим путем.

Как видно из рис. 1, функция  $k_n(k_y)$  имеет  $N$ -петлю со следующими параметрами:  $k_n = 6,32$ ;  $k_y = 0,454$  (максимум),  $k_n = 5,84$ ;  $k_y = 0,573$  (минимум), касательные в экстремумах пересекают кривую при  $k_y = 0,4$  и  $0,625$ . В области  $0,454 \leq k_y \leq 0,573$  имеем  $\partial k_n / \partial k_y \leq 0$ , что можно трактовать как область механической неустойчивости кристаллической решетки с данными значениями  $k_n$  и  $k_y$ . Ясно, что в устойчивой решетке должно быть  $\partial k_n / \partial k_y \geq 0$ .

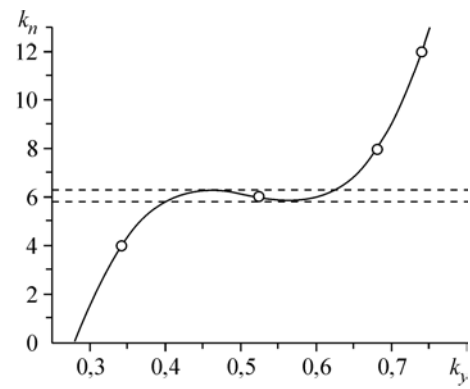
В области  $N$ -петли, т.е. при  $5,84 \leq k_n(\text{RCP}) \leq 6,32$  и  $0,4 \leq k_y(\text{RCP}) \leq 0,625$ , определенному значению координационного числа соответствуют два или три значения коэффициента упаковки. Поэтому эту область и можно определить как область "случайной упаковки".

Именно неоднозначное соответствие между значениями  $k_n$  и  $k_y$  мы будем считать критерием "случайности упаковки". При  $5,84 \leq k_n(\text{RCP}) \leq 6,32$ , ввиду неоднозначности коэффициента упаковки, величина  $k_y$  может случайным образом с равной вероятностью иметь любое из трех возможных значений, лежащих в интервале  $0,4 \leq k_y(\text{RCP}) \leq 0,625$ . Это приводит к тому, что в области "случайной упаковки" структура, обладая локальным порядком ( $k_n = \text{const}$ ), имеет и случайную природу, ибо величина  $k_y$  может меняться как в пространстве, так и во времени. Например, в данный момент времени две координационные сферы с одинаковым значением  $k_n$  могут иметь разные значения  $k_y$ . С другой стороны, рассматриваемая координационная сфера в следующий момент времени, не изменения величины  $k_n$ , может резко менять величину коэффициента упаковки.

Представленные оценки области "случайной упаковки" хорошо согласуются с результатами как геометрических, так и численных расчетов параметров RCP:  $k_n(\text{RCP}) = 6 \div 7$ ;  $k_y(\text{RCP}) = 0,56 \div 0,637$  [1—3]. Кроме этого, как показывают эксперименты, из всех одноатомных кристаллов в простой кубической упаковке кристаллизуется только один элемент — очень редкий и малоизученный металл полоний ( $\alpha\text{-Po-84}$ ) [6]. Можно полагать, что такое редкое распространение простой кубической упаковки среди одноатомных кристаллов есть результат того, что ее структурные параметры, как видно из рис. 1, лежат в области механической неустойчивости:  $\partial k_n / \partial k_y \leq 0$ .

Экспериментальные значения отношения удельных объемов жидкой фазы и кристалла при температуре плавления одноатомных кристаллов, представленные в работах [6—11], можно сгруппировать по структурному типу следующим образом:

$$V(l)/V(s) = \begin{cases} 1,11—1,16 \text{ для ГЦК кристаллов инертных газов,} \\ 1,03—1,07 \text{ для ГЦК и ГПУ металлов } (k_n(s) = 12, k_y(s) = 0,7405), \\ 1,02—1,04 \text{ для ОЦК металлов } (k_n(s) = 8, k_y(s) = 0,6802), \\ 0,96—0,99 \text{ для ромбического Bi и Sb } (k_n(s) \cong 5, k_y(s) \cong 0,44 [4]), \\ 0,88—0,95 \text{ для Si и Ge со структурой алмаза } (k_n(s) = 4, k_y(s) = 0,3401). \end{cases} \quad (2)$$



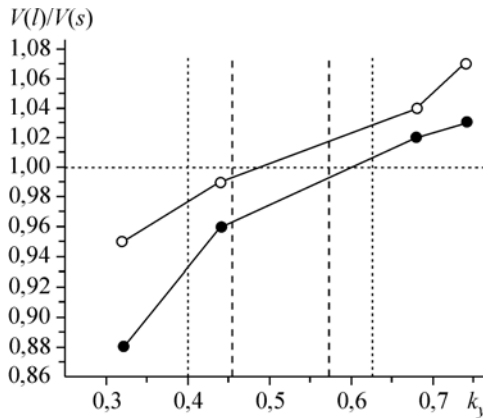


Рис. 2. Зависимость отношения объемов жидкой и твердой фаз при температуре плавления от коэффициента упаковки кристаллической структуры для структурных групп одноатомных веществ, указанных в (2). Темные точки — максимальные, а светлые точки — минимальные значения из (2). Точечными вертикальными линиями указаны область "случайной упаковки":  $0,4 \leq k_y(\text{RCP}) \leq 0,625$ . Пунктирными вертикальными линиями показана область между экстремумами зависимости (1):

$$0,454 \leq k_y \leq 0,573, \text{ где } \partial k_n / \partial k_y \leq 0$$

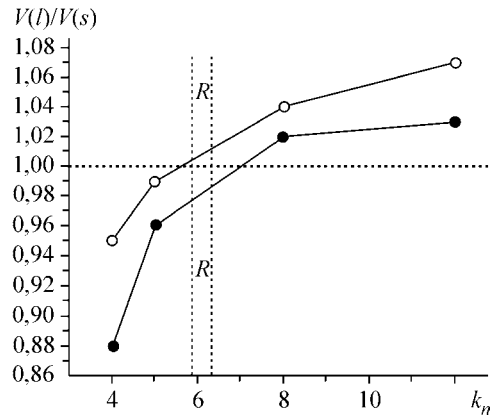


Рис. 3. Зависимость отношения объемов жидкой и твердой фаз при температуре плавления от величины первого координационного числа кристаллической структуры для структурных групп одноатомных веществ, указанных в (2). Темные точки — максимальные, а светлые точки — минимальные значения из (2). Пунктирными вертикальными линиями указана область "случайной упаковки":  $5,84 \leq k_n(\text{RCP}) \leq 6,32$

При этом мы, так же как и авторы работы [4], считаем, что ромбическая структура типа A7 имеет "среднее первое координационное число", равное  $k_n(s) \cong 5$ . Это связано с тем, что диаметр первой координационной сферы (где  $k_n(s) = 3$ ) отличается от диаметра второй координационной сферы структуры A7 (где находятся 3 атома) на 15—25 %.

На рис. 2 и 3 показана зависимость величины  $V(l)/V(s)$  от значений  $k_y(s)$  и  $k_n(s)$ . Из данных графиков легко видеть, что в области "случайной упаковки" и особенно в области, где  $\partial k_n / \partial k_y \leq 0$ , величина  $V(l)/V(s)$  близка к единице. Это говорит о том, что в области "случайной упаковки" и особенно в области механической неустойчивости решетки разница между твердой и жидкой фазой незначительна. Это подтверждается также следующими фактами.

1). При моделировании жидкой фазы при температуре плавления для коэффициента упаковки хорошо подходят следующие значения:  $k_y(l) = 0,58—0,637$  [4];  $k_y(l) = 0,45—0,50$  [5];  $k_y(l) = 0,50—0,55$  [12];  $k_y(l) = 0,43—0,52$  [13].

2). Переход системы жестких сфер в стеклообразное состояние происходит при значениях коэффициента упаковки, лежащих в интервале:  $k_y(g) = 0,515$  [5];  $k_y(g) = 0,55—0,61$  [12];  $k_y(g) = 0,60—0,64$  [14].

3). При  $k_y(g) = 0,555 \pm 0,005$  возможен эффект "дилатанции" (dilatancy) [12] — увеличения удельного объема при сдвиговой деформации. Можно полагать, что дилатанция при данном значении  $k_y$  обусловлена механической неустойчивостью решетки:  $\partial k_n / \partial k_y \leq 0$  (см. рис. 1).

4). При  $k_y = 0,45$  на кривой зависимости давления от  $k_y$ , рассчитанной в модели "однократного заполнения жестких сфер", заметно что-то вроде точки перегиба [5, с. 281]. Гувер и Ри (Hoover W. G., Ree F. H. — 1968) интерпретировали ее как точку, в которой твердая фаза могла бы стать механически неустойчивой: если бы не искусственное ограничение движения в пределах ячейки, кристаллическая структура разрушилась бы [5].

5). В работе [15] на основании анализа структур кристаллов почти всех простых веществ был сделан следующий вывод: "Следует обратить внимание на наличие щели в области  $6,5 < K_S < 7,5$ , где  $K_S$  — эффективное координационное число, величина которого включает вклады от нескольких координационных сфер атомов в решетке". Ни одна из кристаллических модификаций химических элементов не обладает структурным числом, попадающим в интер-

вал  $6,5 < K_S < 7,5$ . При этом до щели располагаются решетки, типичные для неметаллов и металлоидов, а за щелью — решетки металлов.

### ВЫВОДЫ

1. Исходя из функциональной зависимости (1) определены параметры области "случайной упаковки":  $5,84 \leq k_n(\text{RCP}) \leq 6,32$  и  $0,4 \leq k_y(\text{RCP}) \leq 0,625$ , где одному значению координационного числа соответствуют два или три значения коэффициента упаковки.

2. Показано, что для одноатомных твердых веществ, имеющих параметры "случайной упаковки", при переходе в жидкую фазу величина  $V(l)/V(s)$  близка к единице.

3. Тот факт, что из всех одноатомных веществ только один элемент имеет простую кубическую упаковку, говорит о том, что ее структурные параметры лежат в области механической неустойчивости, где  $\partial k_n / \partial k_y \leq 0$  и где возможен эффект "дилатации".

Автор благодарит А.Д. Филенко, К.Н. Магомедова и З.М. Сурхаеву за помощь в работе.

Работа выполнена при финансовой поддержке Отделения ЭММиПУ РАН (контракт № ИПГ-06-ОЭ) и Российского фонда фундаментальных исследований (грант № 05-08-33468а).

### СПИСОК ЛИТЕРАТУРЫ

1. *Torquato S., Truskett T.M., Debenedetti P.G.* // Phys. Rev. Lett. – 2000. – **84**, N 10. – P. 2064 – 2067.
2. *Kansal A.R., Torquato S., Stillinger F.H.* // Phys. Rev. E. – 2002. – **66**, N 4. – P. 041109(1-8).
3. *O'Hern C.S., Silbert L.E., Liu A.J., Nagel S.R.* // Ibid. – 2003. – **68**, N 1. – P. 011306 (1-19).
4. *Lu H.M., Jiang Q.* // Phys. Stat. Solid. (b). – 2004. – **241**, N 11. – P. 2472 – 2476.
5. Займан Дж. Модели беспорядка. – М.: Мир, 1982. [Ziman J.M. Models of Disorder. Cambridge: Cambridge University Press, 1979.]
6. Шахпаронов М.И. Введение в современную теорию растворов. – М.: Высшая школа, 1976.
7. Тонков Е.Ю. Фазовые диаграммы элементов при высоком давлении. – М.: Наука, 1979.
8. *Gorecki T.* // Z. Metallkde. – 1974. – **65**, В 6. – S. 426 – 431.
9. Ефимов Ю.В., Дмитриев В.Н. // Расплавы. – 1988. – **2**, № 2. – С. 3 – 7.
10. Уббелоде А.Р. Расплавленное состояние вещества. – М.: Металлургия, 1982. [Ubbelohde A.R. The Molten State of Matter. – Chichester: Y. Wiley and Sons Ltd., 1978].
11. Хайрулин Р.А., Станкус С.В. Экспериментальное исследование температурных и межфазных изменений плотности германия и кремния // Теплофизические свойства веществ и материалов. – Новосибирск: ИТФ СО АН СССР, 1986. – С. 5 – 15.
12. *Onoda G.Y., Liniger E.G.* // Phys. Rev. Lett. – 1990. – **64**, N 22. – P. 2727 – 2730.
13. *Bhattacharya I., Singh U.P., Mohanty U.A.* // Phys. A. – 1991. – **175**, N 3. – P. 473 – 484.
14. Аникеенко А.В., Медведев Н.Н. Структурные особенности плотных упаковок твердых сфер. Тезисы докл. XIII Симп. межмолек. взаимодейств. и конформациям молекул. – Санкт-Петербург, 19 – 23 июня 2006. – С. 31.
15. Добротворский А.М., Широков Д.В. // Журн. физ. химии. – 2000. – **74**, № 12. – С. 2184 – 2189.